

В рамках моделей, основанных на спиновых корреляциях (модели резонансных валентных состояний), увеличение температуры обусловлено возрастанием интеграла переноса t_b с уменьшением расстояния между разновалентными ионами меди [8]. В связи с различием в функциях этих двух медь-кислородных подсистем в формировании сверхпроводящего состояния, по-видимому, и объясняется их различная скорость влияния на T_c в ОРТО-1 и ОРТО-2 фазе.

Л и т е р а т у р а

- [1] Griessen R. // Phyz. Rev. 1987. V. B36. N 10. P. 5284—5290.
- [2] Ревенко Ю. Ф., Дорошенко Н. А., Григута О. В. и др. // ФТТ. 1988. Т. 30. № 5. С. 1555—1558.
- [3] Барьяхтар В. Г., Григута О. В., Василенко А. В. и др. // Письма в ЖЭТФ. 1988. Т. 47. № 9. С. 457—459.
- [4] Takemori T., Inoue M., Ohtaka M. et al. // Physica B. 1987. V. 148B. N 1—3. P. 396—398.
- [5] Cooper S. L., Klein M. V., Pozol B. G. et al. // Phys. Rev. 1988. V. B37. N 10. P. 5920—5923.
- [6] Phillips J. C. // Sol. St. Commun. 1988. V. 65. N 5. P. 369—371.
- [7] Okabe Y., Suzumura Y., Sasaki T., Katayama-Yoshida H. // Sol. St. Commun. 1987. V. 64. N 4. P. 483—487.
- [8] Yamaguchi K., Takahara Y., Fueno T., Nasu K. // Jap. J. Appl. Phys. 1987. Pt2. V. 26. N 8. P. L1362—L1364.

Донецкий физико-технический
институт АН УССР
Донецк

Поступило в Редакцию
26 июля 1988 г.

УДК 535.331.34 + 538.918

Физика твердого тела, том 31, в. 1. 1989
Solid State Physics, vol. 31, № 1, 1989

РЕНТГЕНОСПЕКТРАЛЬНОЕ ИССЛЕДОВАНИЕ ЭЛЕКТРОННЫХ СОСТОЯНИЙ $\text{YBa}_2\text{Cu}_3\text{O}_7$

A. Maise, P. Ryus

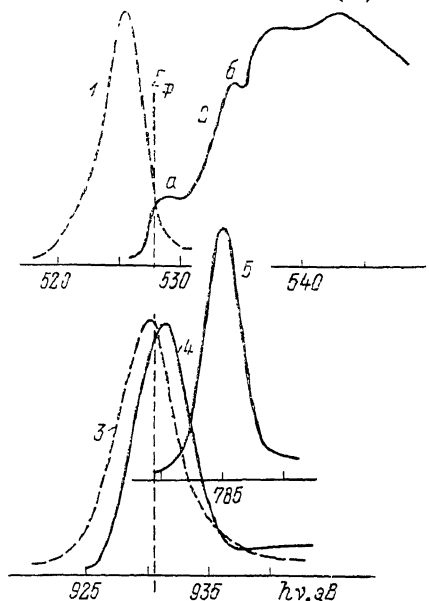
Открытие высокотемпературной сверхпроводимости в сложных металлооксидных керамиках стимулировало всестороннее изучение их электронной энергетической структуры. Первые зонные расчеты [1, 2] и экспериментальные исследования [2—11] показали, что в системе $\text{YBa}_2\text{Cu}_3\text{O}_7$ полосы свободных и занятых состояний имеют сложную структуру, в формировании которой основную роль играют $\text{O}(2p)$ - и $\text{Cu}(3d)$ -состояния, причем они сильно гибридизированы. На первом плане стоит вопрос о том, как расположены относительно друг друга и уровня Ферми подзоны этих состояний. Ряд авторов считает, что в валентной зоне $\text{O}(2p)$ -подобные состояния лежат ближе к E_F , чем $\text{Cu}(3d)$ -состояния [1—4], другие же придерживаются иной точки зрения [5—7]. Основные аргументы при этом извлекаются из зонных расчетов и фотоэлектронных исследований, результаты которых далеко не однозначны. Поэтому весьма актуально комплексное изучение рентгеновских эмиссионных и абсорбционных спектров для краев разной симметрии и разной атомной принадлежности.

Нами измерены Cu ($L_{2,3}$), Ba ($M_{4,5}$) и O (K) спектры на образцах $\text{YBa}_2\text{Cu}_3\text{O}_7$, изученных оптическими методами в работе [12]. Спектры получены на спектрометре РСМ-500 при комнатной температуре в вакууме 10^{-6} Тор. Эмиссия возбуждалась электронным пучком, спектры поглощения получены измерением импульсного квантового выхода полной фотоэмиссии. Аппаратурное разрешение составляло 1.2, 2.2, 3.0 эВ (соответственно для O (K), Ba ($M_{4,5}$) и Cu ($L_{2,3}$) краев), точность градуировки около 0.5 эВ. Абсолютное значение квантового выхода фотоэмиссии, опе-

ненное при помощи эталонного CsI фотокатода, оказалось во всей изученной области (500 — 1000 эВ) весьма низким, порядка 0.01, что подтверждает металлоподобный характер системы $\text{YBa}_2\text{Cu}_3\text{O}_7$.

$\text{O}(K)$ полоса эмиссии имеет максимум при 525.4 эВ и наплыв с низкоэнергетической стороны. Как известно, сверхпроводящая керамика представляет собой поликристаллический образец зернистого типа, причем «кожура» зерен и межзерновые поры (состоящие из непрореагировавших до конца кислородосодержащих остатков исходных веществ) могут составлять довольно значительную объемную долю. Это вносит определенные, трудноучитываемые искажения в $\text{O}(K)$ спектр, хотя можно полагать, что при энергии первичных электронов в несколько кэВ возбуждение несомненно проникает в толщу зерен. По нашим наблюдениям наиболее чувствительным участком является низкоэнергетическая часть $\text{O}(K)$ полосы, что подтверждает и сравнение результатов других авторов [2, 7, 13].

В $\text{O}(K)$ поглощении интересны две полосы: a (528.5 эВ) и b (534 эВ); полувысота полосы a , которую можно трактовать как край поглощения, находится при 528 эВ. Энергетическое положение эмиссионной полосы позволяет принять эту энергию за оценку E_Φ . (Здесь и далее под E_Φ понимается энергия уровня Ферми относительно соответствующего основного уровня). Провал в поглощении при 530 эВ отражает, возможно, запрещенную щель энергий, предсказываемую расчетами [1, 2]. Полоса b по энергии совпадает с интенсивной первой полосой поглощения BaO [14], что,



Рентгеновские спектры $\text{YBa}_2\text{Cu}_3\text{O}_7$.

1, 3 — $\text{O}(K)$, $\text{Cu}(L_2)$ — спектры эмиссии; 2, 4, 5 — $\text{O}(K)$, $\text{Cu}(L_3)$, $\text{Ba}(M_4)$, $\text{Ba}(M_5)$ спектры поглощения.

по-видимому, связано с существованием $\text{Ba}-\text{O}$ слоев в кристалле $\text{YBa}_2\text{Cu}_3\text{O}_7$.

В $\text{Cu}(L_2, 3)$ спектрах (на рисунке приведены только L_3 спектры; L_2 полосы имеют аналогичный вид) тонкая структура не обнаруживается, максимум эмиссии находится при 930.0 эВ, поглощения — при 931.2 эВ. В качестве оценки E_Φ разумно взять значение 930.5 эВ.

Присутствие сильных $3d-5p$ и $3d-4f$ полос и сателлитов кратной ионизации в $M_{4, 5}$ спектре эмиссии Ba не позволило надежно выделить полосы излучения из валентной зоны. $M_{4, 5}$ полосы поглощения Ba бесструктурны, совпадают по форме и расположению с полосами в галогенидах [15]. Они связаны с переходами $3d$ -электронов в локализованные $4f$ -состояния иона Ba^{2+} . В энергетической схеме $\text{YBa}_2\text{Cu}_3\text{O}_7$ $M_{4, 5}$ полосы Ba лежат на 5 — 6 эВ выше E_Φ (по рентгеноэлектронным данным [6, 8], для M_5 уровня E_Φ составляет 779 — 780 эВ).

Полученные рентгеноспектральные результаты приводят (в рамках одноэлектронного зонного подхода) к следующим выводам.

1. Энергии E_Φ системы $\text{YBa}_2\text{Cu}_3\text{O}_7$ относительно $\text{Cu}(L_3)$ и $\text{O}(K)$ уровней составляют 930 ± 1 и 528 ± 1 эВ. Для меди это на 2 — 3 эВ меньше, чем получается в рентгеноэлектронных измерениях [6, 8].

2. Свободные состояния как $\text{O}(2p)$, так и $\text{Cu}(3d)$ типа расположены непосредственно вблизи уровня Ферми (в пределах ~ 1 эВ), что согласуется с идеями, высказанными в работе [12], результатами расчетов [1, 2] и измерениями методом обращенной фотоэмиссии [11].

3. Подзоны занятых состояний O ($2p$) и Cu ($3d$) типа налагаются друг на друга, их максимумы лежат соответственно ~ 2.5 и ~ 1 эВ ниже уровня Ферми, т. е. в основной своей массе $3d$ -подзона находится ближе к уровню Ферми, чем $2p$ -подзона. Этот вывод не согласуется с теоретическим анализом распределения парциальных плотностей работ [1, 2], но нельзя не отметить, что в последнее время появились расчеты, которые дают максимум парциальной $3d$ -плотности довольно близко к уровню Ферми [16, 17]. К тому же следует иметь в виду, что при зонной интерпретации не учитывается локальная перестройка валентных состояний вследствие появления оставной дырки. Эффекты релаксации особенно сильно могут повлиять на распределение Cu ($3d$)-подобных состояний $YBa_2Cu_3O_7$.

В заключение выражаем глубокую благодарность М. А. Эланго за предложение темы и участие в обсуждении результатов, И. Мерилоо за изготовленные образцы, А. М.-Э. Саару за помощь и содействие в проведении измерений и Ч. Б. Лущику за постоянный интерес к работе.

Л и т е р а т у р а

- [1] Mattheiss L. F., Hamann O. R. // Sol. St. Commun. 1987. V. 63. N 5. P. 395—400.
- [2] Анисимов В. И., Галахов В. Р., Курмаев Э. З. и др. // ФММ. 1988. Т. 65. № 1. С. 207—208.
- [3] Onellion M., Chang Y., Niles D. W. et al. // Phys. Rev. B. 1987. V. 36. N 1. P. 819—821.
- [4] Steffel N. G., Tarascon J. M., Chang Y. et al. // Phys. Rev. B. 1987. V. 36. N 7. P. 3986—3989.
- [5] Sarma D. D., Sreedhar K., Ganguly P., Rao C. N. R. // Phys. Rev. B. 1987. V. 36. N 4. P. 2371—2373.
- [6] Steiner P., Kinsinger V., Sander T. et al. // Z. Phys. B. 1987. V. 67. N 1. P. 19—23.
- [7] Немошканенко В. В., Уваров В. Н., Ерешенко А. А. и др. // Металлофизика. 1988. Т. 10. № 1. С. 116—119.
- [8] Kohiki S., Hamada T., Wada T. // Phys. Rev. B. 1987. V. 36. N 4. P. 2290—2294.
- [9] Jarmoff J. A., Clarke D. R., Drube W. et al. // Phys. Rev. B. 1987. V. 36. N 7. P. 3967—3970.
- [10] Bianconi A., Congiu Castellano A., De Santis M. et al. // Sol. St. Commun. 1987. V. 63. N 11. P. 1009—1013.
- [11] Wagener T. I., Gao Y., Weaver I. H. et al. // Phys. Rev. B. 1987. V. 36. N 7. P. 3899—3902.
- [12] Лущик Ч. Б., Куусманн И. Л., Фельдбах Э. Х. и др. // ФТТ. 1987. Т. 29. № 12. С. 3667—3672.
- [13] Tsang K.—L., Zhang C. H., Callcott T. A. et al. // Phys. Rev. B. 1988. V. 37. N 4. P. 2293—2296.
- [14] Nakai S., Mitsuishi T., Sugawara H. et al. // Phys. Rev. B. 1987. V. 36. N 17. P. 9241—9246.
- [15] Майсте А. А., І'юс Р. Э., Кучас С. А. и др. // ЖЭТФ. 1980. Т. 76. № 3. С. 941—951.
- [16] Temmerman W. M., Stocks G. M., Durham P. I., Sterne P. A. // J. Phys. 1987. V. 17. N 5. P. L135—141.
- [17] Bullett D. W., Dauson W. G. // J. Phys. C. 1987. V. 20. N 11. P. L853—L856.

Институт физики АН ЭССР
Тарту

Поступило в Редакцию
27 июля 1988 г.

УДК 546.72.78.682'22 : 541.67

Физика твердого тела, том 31, в. 1, 1989
Solid State Physics, vol. 31, № 1, 1989

ПЕРЕХОД АНТИФЕРРОМАГНЕТИЗМ—ФЕРРИМАГНЕТИЗМ В СИСТЕМЕ $\text{Zn}_{1-x}\text{Co}_x\text{Cr}_2\text{S}_4$

P. З. Садыхов, А. Д. Намазов

Соединения ZnCr_2S_4 и CoCr_2S_4 кристаллизуются в структуре шпинели и являются соответственно антиферро- и ферримагнетиком [1, 2]. С целью установления влияния замещения ионов Zn ионами Co в тетраэдрических